



بررسی بیوانفورماتیکی توالی‌های EST سنبله گندم چینی بهاره تحت تنش شوری

زهرا زیتی^۱، عباس عالم‌زاده^{۲*}، اسماعیل ابراهیمی^۳

^۱ استادیار بخش اگرواکولوژی، دانشکده کشاورزی و منابع طبیعی داراب.

^۲ دانشیار بخش زراعت و اصلاح نبات، دانشکده کشاورزی، دانشگاه شیراز، شیراز.

^۳ دانشیار پژوهشکده بیوتکنولوژی، دانشکده کشاورزی، دانشگاه شیراز، شیراز.

تاریخ دریافت: ۱۳۹۴/۰۶/۱۷، تاریخ پذیرش: ۱۳۹۵/۰۷/۰۶

چکیده

تغییرات کارکرد ژنوم تحت شرایط تنش می‌تواند راهکاری برای درک بهتر سازوکارهای تحمل به تنش در گیاهان باشد. در این پژوهش سعی شده است تا با بررسی توالی‌های EST دو کتابخانه کنترل و تنش شوری در گندم، تغییرات کارکردی ژنوم در تنش شوری و ژن‌های مؤثر در تحمل به شوری شناسایی شوند. بدین منظور توالی‌های EST از وب‌گاه هاروارد و Graingenes دریافت شدند. به منظور دسته‌بندی توالی‌های EST، تعیین پروتئین‌های مرتبط با یونی‌ژن‌ها (کاتنیگ‌ها و سینگل‌تون‌ها)، تعیین گروه‌های کارکردی و آزمون‌های آماری، به ترتیب از بانک اطلاعاتی Egassembler، بلاست و بگاه NCBI، وب‌گاه مؤسسه ماکس پلانک و نرم‌افزار IDEG6 استفاده شد. نتایج نشان‌دهنده وجود اختلاف معنی‌دار بین ۲۰ گروه کارکردی در شرایط کنترل و تنش شوری بود. در هر دو شرایط کنترل و تنش شوری، گروه‌های کارکردی پروتئین و RNA بیشترین و گروه‌های کارکردی متabolism کربوهیدرات اصلی، تبدیل مواد آلی و چرخه کربس کمترین فعالیت کارکردی ژنوم را نسبت به سایر گروه‌های کارکردی ژنوم به خود اختصاص دادند. تحت تنش شوری، فعالیت گروه‌های کارکردی سنتز ATP / انتقال الکترون میتوکندریایی، متabolism چربی، اکسایش-کاهش، پروتئین، RNA، DNA و سلول افزایش یافت. بنابراین می‌توان پیشنهاد کرد که این گروه‌های کارکردی دارای نقش مهمی در مکانیسم پاسخ به تنش شوری هستند. تجزیه و تحلیل بیان ژن‌ها در شرایط کنترل و تنش شوری نشان داد ۲۷۱ ژن دارای بیان افتراقی معنی‌دار بودند که در ۲۳ گروه کارکردی مختلف قرار گرفتند. ژن‌های شناسایی شده در این پژوهش می‌توانند جهت دستورالعمل ژنتیکی با هدف بهبود تحمل به تنش شوری در گیاهان زراعی مورد استفاده قرار گیرند.

واژه‌های کلیدی: تنش شوری، ژنومیکس کارکردی، سنبله.

امیکس^۱ برای مطالعه در سطح ترانسکرپتوم^۲، پروتئوم^۳، متابولوم^۴ استفاده می‌شود. این فناوری‌ها نحوه کارکرد ژنوم در یک شرایط محیطی خاص، روابط بین ژن‌ها، نقش بخش‌های رمز کننده و غیر رمز کننده ژنوم و نقاط کلیدی شبکه پاسخ به شرایط درونی و بیرونی گیاه را روشن می‌سازند (Fleury *et al.*, 2010; Urano *et al.*, 2010). از جمله روش‌های ژنومیکس کارکرده،^۵ تولید و تجزیه و تحلیل توالی‌های EST^۶، فناوری ریزآرایه^۷ و توالی‌یابی RNA^۸ می‌باشد (Ali *et al.*, 2011).

توالی‌های EST، توالی‌های کوتاه cDNA (میانگین طول ۵۰۰ جفت باز) می‌باشد که به وسیله توالی‌یابی انتهایی^۹ یا همسانه‌های cDNA ایجاد می‌شوند (Dong *et al.*, 2005). آنالیز توالی‌های EST یک روش مؤثر در نقشه-یابی بسیاری از ژن‌ها، کشف ژن‌های جدید و بررسی بیان ژن‌ها در اندامها و بافت‌های مختلف در مراحل نموی و پاسخ به تنش‌ها می‌باشد (Gueguen *et al.*, 2003; Gruber *et al.*, 2012; Gueguen *et al.*, 2003; Gruber *et al.*, 2012; Houde *et al.*, 2014). (Zhuang & Zhu, 2014) با ایجاد ۷۳۵۲۱ توالی EST از گندم نان در مراحل مختلف نموی و در معرض تنش‌های سرما، شوری و خشکی و ترکیب آن‌ها با

مقدمه

در سیستم‌های کشاورزی، تنش‌های غیر زیستی به ویژه شوری، دمای پائین و خشکی باعث تفاوت عملکرد برداشت شده نسبت به عملکرد بالقوه می‌شوند. مطالعات متعددی با هدف کشف مکانیسم‌های مورد استفاده در گونه‌های متحمل به تنش و عناصری که تحمل را به گیاهان حساس اعطای می‌کنند انجام شده است (Noctor & Foyer, 1998; Dat *et al.*, 2000). همچنین پژوهش‌های فراوانی در رابطه با تحمل به شوری در گیاهان زراعی انجام شده است اما ماهیت پیچیده و پلی‌رنی تحمل به تنش شوری، اصلاح گیاهان برای تحمل به شوری را با مشکل رویرو کرده است (Zhu, 2000). شواهد زیادی وجود دارند که بیانگر تغییر بیان ژن‌های گیاهی در اثر تنش شوری هستند که احتمالاً به دلیل نقش آن‌ها در سازوکارهای تحمل می‌باشد. مطالعه گیاهان تاریخته این نظریه را که تغییر بیان ژن‌ها می‌تواند منجر به افزایش تحمل شود، Van Camp *et al.*, 1996; (Shikanai *et al.*, 1998; Apse *et al.*, 1999) هم اکنون روش‌های جدیدی برای درک بیشتر ژنتیک تحمل به تنش‌های غیر زیستی در دسترس هستند و به ما این امکان را می‌دهند که پیچیدگی‌های پاسخ به تنش را از طریق بررسی پروفایل بیان ژن‌ها در سطح کل ژنوم مورد توجه قرار دهیم (Reymond *et al.*, 2000; Richmond & Somerville, 2000).

^۱Omics

^۲Transcriptome

^۳Proteome

^۴Metabolome

^۵Functional genomics

^۶Expressed Sequenced Tags

^۷Microarray

^۸RNA-sequencing

پژوهش سعی شده است تا با بررسی توالی‌های EST کتابخانه‌های کنترل و تنش شوری گندم تغییرات کارکرد ژنوم در تنش شوری، ژن‌های با بیان افتراقی و ژن‌های دخیل در پاسخ به شوری شناسایی شوند. پس از بررسی ژن‌ها می‌توان برنامه‌هایی در جهت انتقال ژن‌های مؤثر در تحمل به تنش شوری از طریق برنامه‌های اصلاحی و مهندسی ژنتیک به ژنوم گندم طرح ریزی کرد که در صورت موفقیت به تولید ارقامی با تحمل به شوری بالا خواهد انجامید.

مواد و روش‌ها

به منظور مقایسه گروه‌های کارکردی و بیان ژن‌ها یک کتابخانه گندم چینی بهاره تحت تنش شوری با ۱۴۷۷۰ توالی EST تحت عنوان TA034G1X و یک کتابخانه گندم چینی بهاره در شرایط کنترل با ۱۰۵۴۴ توالی EST تحت عنوان TA019E1X که مربوط به سنبله گندم هستند از وب‌گاه‌های ^۱GrainGenes^۲ و هاروارد^۳ با فرمت FASTA دریافت شدند. توالی‌های EST مربوط به هر کدام از کتابخانه‌ها به صورت جداگانه با استفاده از سایت ^۴EGassembler^۵ (MasoudiNejad et al., 2006) با در نظر گرفتن ۸۰٪ شباهت دسته‌بندی و همگذاری شدند. این سایت توالی‌های مربوط به وکتور، توالی‌های کلروپلاستی و میتوکندریایی، توالی‌های تکرار

۱۹۶۰۴۱ توالی EST موجود در بانک‌های اطلاعاتی و دسته‌بندی آن‌ها، به ۷۵۴۸۸ یونی‌ژن^۶ (۳۱۵۸۰ کانتیگ و ۴۳۹۰۸ سینگل تون) دست یافتند. بیش از ۴۳٪ از این یونی‌ژن‌ها مورد آنالیز کارکردی قرار گرفت و گروه‌های کارکردی مربوط به آن‌ها تعیین شد (Houde et al., 2006). روش EST به منظور پیدا کردن ژن‌های جدید و تعیین الگوی‌های بیان در گیاه *Suaeda salsa*, *Thellungiella* (Zhang et al., 2001), *Avicennia* (Wang et al., 2004), *halophila Mesembryanthemum* (Mehta et al., 2005) (Kore-eda et al., 2004) *crystallinum* پاسخ به تنش شوری استفاده شده است. در *Aeloropous* پژوهشی روی گیاه سورپسند *litorallis*, به عنوان گیاهی که می‌تواند منبع ژنتیکی ارزشمندی برای ژن‌های مقاومت به شوری و خشکی باشد، سه کتابخانه cDNA از بافت‌های ریشه و برگ در شرایط مختلف تیمار شوری ایجاد کردند و نهایتاً ۱۲۶۸ توالی EST را توالی‌بایی کردند (Zouari et al., 2007). پس از مقایسه با پایگاه‌های داده‌ی پروتئینی، ۶۸٪ از توالی‌ها در گروه پروتئین‌های با کارکرد مشخص، ۱۲٪ در گروه توالی‌های مشابه ناشناس و ۲۰٪ در هیچ گروهی قرار نگرفت که می‌تواند دلیلی بر جدید بودن آن‌ها باشد (Zouari et al., 2007).

شناسایی و بررسی کارکرد ژن‌های پاسخ‌دهنده به تنش شوری به درک مکانیسم‌های کلیدی تنش شوری کمک می‌کند. در این راستا، در این

^۱ http://wheat.pw.usda.gov/cgi-bin/westsql/est_lib.cgi

^۲ <http://compbio.dfci.harvard.edu/tgi>
^۳ <http://egassembler.hgc.jp/>

^۶ Unigenes

سپس فهرست کدهای Tair یونیژن‌های مربوط به هر کتابخانه به عنوان ورودی سرویس Gene Usadel *et al.*¹ در سایت ماکس پلانک¹ (Classify 2006,,) و با مرجع قرار دادن ژنوم آرابیدوپسیس در سطح ۱ درصد مورد استفاده قرار گرفت. در این تحقیق EST‌های دو کتابخانه به صورت توأم توسط EGassembler بر اساس میزان شباهت ۸۰٪ شباهت دسته‌بندی و همگذاری شدند. مبنای بررسی و مقایسه بیان - ژن‌ها در شرایط کنترل و تنش شوری تعداد رونوشت‌های هر ژن در هر کدام از کتابخانه‌ها می‌باشد. تمام کانتیگ‌ها و سینگلتون‌های مربوط به دسته‌بندی و همگذاری EST‌های مربوط به دو کتابخانه با استفاده از نرم افزار CLC Protein Workbench version 5.1 و توالی‌های پروتئینی NCBI nr پایگاه کانتیگ شدند. ژن‌هایی که در گندم گزارشی در مورد آنها وجود ندارد و همچنین توالی‌هایی که با هیچ کدام از توالی‌های موجود در پایگاه داده شباهتی نداشتند به عنوان نامزدهای ژن‌های جدید احتمالی در نظر گرفته شدند. به منظور تعیین گروه‌های کارکردی ژن‌هایی که تغییر بیان داشتند، کدهای Tair مربوط به هر کدام از آنها به صورت جداگانه به عنوان ورودی سرویس Gene Classify در سایت ماکس پلانک مورد استفاده قرار گرفت.

برای یافتن گروه‌های کارکردی متفاوت و همچنین تعیین معنی دار بودن تفاوت بیان ژن‌ها در شرایط تحت تنش و کنترل از نرم افزار تحت وب

شونده و توالی‌های با طول کوتاه‌تر از ۱۰۰ bp را حذف می‌کند. سپس توالی‌های باقیمانده با کیفیت بالا با در نظر گرفتن ۸۰٪ شباهت دسته‌بندی و همگذاری شدند. به عبارتی توالی‌هایی که به هم شبیه هستند در یک دسته قرار می‌گیرند. خروجی این سرویس شامل سه فایل بود. یک فایل شامل توالی‌های منفرد بود که در هیچ دسته‌ای قرار نگرفتند و به آن‌ها سینگلتون (شامل تنها یک EST) می‌گویند. فایل دیگر شامل دسته‌هایی بیش از یک توالی بود که به آن‌ها کانتیگ (شامل دو یا تعداد بیشتری EST) می‌گویند و فایل دیگر شامل صفت‌بندی توالی‌های EST بود. بلاست ایکس برای یونیژن‌های (کانتیگ‌ها و سینگلتون‌های) هر کتابخانه به منظور تعیین پروتئین‌های مرتبط با آن‌ها انجام شد. این کار با استفاده از نرم افزار CLC Protein Workbench version 5.1 صورت گرفت. ماتریس مورد استفاده برای انجام بلاست ایکس 62 Blosum و حداقل E-value برابر $^{+} 10^{-5}$ بود. از آنجا که بانک اطلاعات کارکردی گیاه آرابیدوپسیس کامل‌ترین بانک گیاهی است، به منظور تعیین گروه‌های کارکردی ژنوم تحت شرایط نرمال و تنش شوری، توالی‌های پروتئینی آرابیدوپسیس از سایت Tair (https://www.arabidopsis.org) دریافت شدند. سپس بلاست ایکس با استفاده از نرم افزار CLC Protein Workbench version 5.1، برای یونی- ژن‌های (کانتیگ‌ها و سینگلتون‌های) هر کتابخانه در مقابل پروتئین‌های آرابیدوپسیس انجام شد و کدهای Tair مربوط به یونیژن‌ها دریافت شدند.

¹ <http://mapman.mpimp-golm.mpg.de>

قرار گرفت. علت این امر می‌تواند وجود تعداد رونوشت‌های بیشتری از یک ژن (یعنی افزایش بیان ژن) در کتابخانه تحت تنش باشد که سبب افزایش تعداد EST‌های تشکیل دهنده هر کانتیگ در کتابخانه تنش می‌شود. از آن جا که گروه‌های کارکردی گیاه آراییدوپسیس به طور کامل شناخته شده است جستجوی بلاست برای کانتیگ‌ها و سینگلتون‌های دو کتابخانه در برابر بانک اطلاعاتی آراییدوپسیس با استفاده از نرم افزار CLC Protein Workbench version 5.1 شد. نتایج نشان داد که ۶۶/۹۶ درصد یونی‌ژن‌های کتابخانه کنترل و ۶۹/۹۹ درصد یونی‌ژن‌های کتابخانه تنش شوری با پروتئین‌های شناخته شده در آراییدوپسیس و با $E\text{-value} \leq 10^{-5}$ شباهت داشتند و به ترتیب ۳۳/۰۳ و ۳۰ درصد یونی‌ژن‌های کتابخانه‌های کنترل و تنش شوری با هیچ پروتئینی در آراییدوپسیس شباهت نشان ندادند و به عبارتی فاقد hit بودند (جدول ۲).

^۱استفاده شد. این سرویس امکان اجرای IDEG6 شش آزمون آماری مختلف را فراهم کرده است. در این پژوهش از آزمون Audic and Claverie در سطح ۵٪ استفاده شد. این آزمون دقیق‌ترین آزمون در مقایسات جفتی می‌باشد (Romualdi et al., 2003). آزمون Audic and Claverie کتابخانه‌ها را به صورت جفتی و بر پایه محاسبه احتمال شرطی و با فرض یکسان بودن تعداد ژن‌ها در هر گروه کارکردی در دو کتابخانه مورد بررسی (Man et al., 2000) و یا یکسان بودن تعداد رونوشت‌ها در هر کانتیگ در دو کتابخانه، مقایسه می‌کند.

نتایج و بحث

در پژوهش حاضر، به منظور ارزیابی اثر شوری بر پروفایل ترانسکریپتوم سنبله‌های گندم و با توجه به نقش پراهمیت توالی‌های EST در دستیابی به ژن‌های جدید، از تجزیه و تحلیل توالی‌های EST استفاده شد. از دسته‌بندی توالی‌های EST کتابخانه‌های گندم تحت شرایط کنترل و شوری با استفاده از سرویس بیوانفورماتیک EGassembler به ترتیب ۶۹۱۹ و ۵۵۸۵ یونی‌ژن مجزا تشکیل شد که نتایج همگذاری این توالی‌ها در جدول ۱ نشان داده شده است. در مجموع، ۴۸/۳۹ درصد کل توالی‌های EST کتابخانه گندم کنترل و ۷۹/۵۳۹ درصد کل توالی‌های EST کتابخانه گندم تحت تنش شوری درون کانتیگ‌ها

^۱ <http://telethon.bio.unipd.it/bioinfo/IDEG6/>

جدول ۱- نتایج دسته‌بندی و همگذاری توالی‌های EST دو کتابخانه گندم تحت شرایط کنترل و تنش شوری.

Table 1- Results of clustering and assembling ESTs from control and salt stress EST libraries.

کتابخانه Library	تعداد EST Number of ESTs	تعداد یونیژن Number of unigenes	تعداد کانتیگ‌ها Number of contigs	تعداد سینگلتون‌ها Number of singletones
کنترل Control	10544	6919	1478	5441
تنش شوری Salt stress	14770	5585	2563	3022

جدول ۲- نتایج بلاست کانتیگ‌ها و سینگلتون‌های دو کتابخانه گندم تحت شرایط کنترل و شوری در مقابل توالی‌های پروتئینی آرابیدوپسیس.

Table 2- BLASTX results for the contigs and singletons obtained from control and salt stress EST libraries against the *Arabidopsis* proteins database.

کتابخانه Library	کانتیگ Contigs		سینگلتون Singletons		یونیژن‌های hit	یونیژن‌های بدون hit
	دارای hit With hit	بدون hit Without hit	دارای hit With hit	بدون hit Without hit	Unigenes with significant matches (hit)	Unigenes with no significant matches (hit)
	hit	بدون hit	hit	بدون hit		
کنترل Control	1246	232	3387	2054	4633	2286
تنش شوری Salt stress	1946	617	1963	1059	3909	1676

شباهت در کارکرد و فعالیتشان به گروه‌های کارکردی مختلف تقسیم‌بندی شوند. این تقسیم-بندی اطلاعات بسیار با ارزشی پیرامون قسمت-های فعلی ژنوم طی یک فرایند خاص و همچنین

ماهیت شناسی یا آنتالوژی ژن برای تشریح کارکرد ژن و پروتئین استفاده می‌شود. ماهیت-شناصی ژن این امکان را فراهم می‌آورد که ژن‌های مورد بررسی در یک فرایند مشخص بر اساس

حضور گروه کارکردی میکرو RNA در کتابخانه تنش شوری، بیانگر تنظیم بیان بعضی از ژن‌ها در پاسخ به تنش شوری در سطح پس از رونویسی^۴ می‌باشد.

آزمون Claverie and Audio در سطح ۵ درصد، وجود تفاوت معنی‌دار در ۲۰ گروه کارکردی بین دو شرایط کنترل و تحت تنش شوری را نشان داد (شکل ۱). چهار گروه کارکردی متabolism ثانویه^۵، misc^۶ (خانواده‌های آنزیمی متفاوت)، پروتئین و سیگنانینج اختلاف معنی‌دار در سطح ۰/۰۰۱ بین شرایط کنترل و تنش شوری نشان دادند و بقیه گروه‌های کارکردی در سطح ۰/۰۵ اختلاف معنی‌دار داشتند.

با توجه به شکل ۱ در هر دو کتابخانه کنترل و تنش شوری فعالیت گروه‌های کارکردی پروتئین، RNA نسبت به سایر گروه‌های کارکردی ژنوم در بالاترین سطح و در مقابل فعالیت گروه‌های کارکردی متabolism اصلی کربوهیدرات^۷ و تبدیل مواد آلی و چرخه کربس^۸ در پائین‌ترین سطح قرار داشت. همچنین فعالیت گروه‌های کارکردی سنتز ATP / انتقال الکترون میتوکندریایی^۹، متabolism لپید^{۱۰}، اکسایش - احیا^{۱۱}، پروتئین، RNA و DNA سلول در شرایط تنش شوری افزایش و فعالیت گروه‌های کارکردی دیگر

میزان فعالیت این قسمت‌ها فراهم می‌کند (Rhee et al., 2003; Smith et al., 2006). بنابراین گروه‌های کارکردی مربوط به هر کتابخانه با استفاده از وب‌گاه ماکس پلانک تعیین شدند. یونیژن‌های دارای hit کتابخانه گنبد کنترل و کتابخانه گنبد تحت تنش شوری به ترتیب در ۳۵ و ۳۴ گروه کارکردی مختلف قرار گرفتند. گروه کارکردی میکرو RNA و آنتی‌سنسرهای طبیعی^۱ هیچ نماینده‌ای در کتابخانه کنترل و گروه‌های کارکردی چرخه گلی‌اکسیلات/ گلوکونئوژن^۲ و چرخه جذب سولفات^۳ هیچ نماینده‌ای در کتابخانه گنبد تحت تنش شوری نداشتند. بنابراین دو کتابخانه در ۳۲ گروه کارکردی مشترک بودند. یکی از اصلی‌ترین روش‌های تنظیم فرایندهای ژنتیکی از طریق مکانیسم‌های مرتبط با میکرو RNA است. میکرو RNAها مولکول‌های کوچک (۲۲ نوکلئوتیدی) و تک رشته‌ای هستند که مکمل mRNA یک ژن رمز کننده یک پروتئین می‌باشند و می‌توانند از بیان یک ژن یا تولید یک پروتئین جلوگیری کنند. از این رو تحقیقات فراوانی در مورد نقش این مولکول‌ها صورت گرفته است (Winter & Diederichs, 2011).

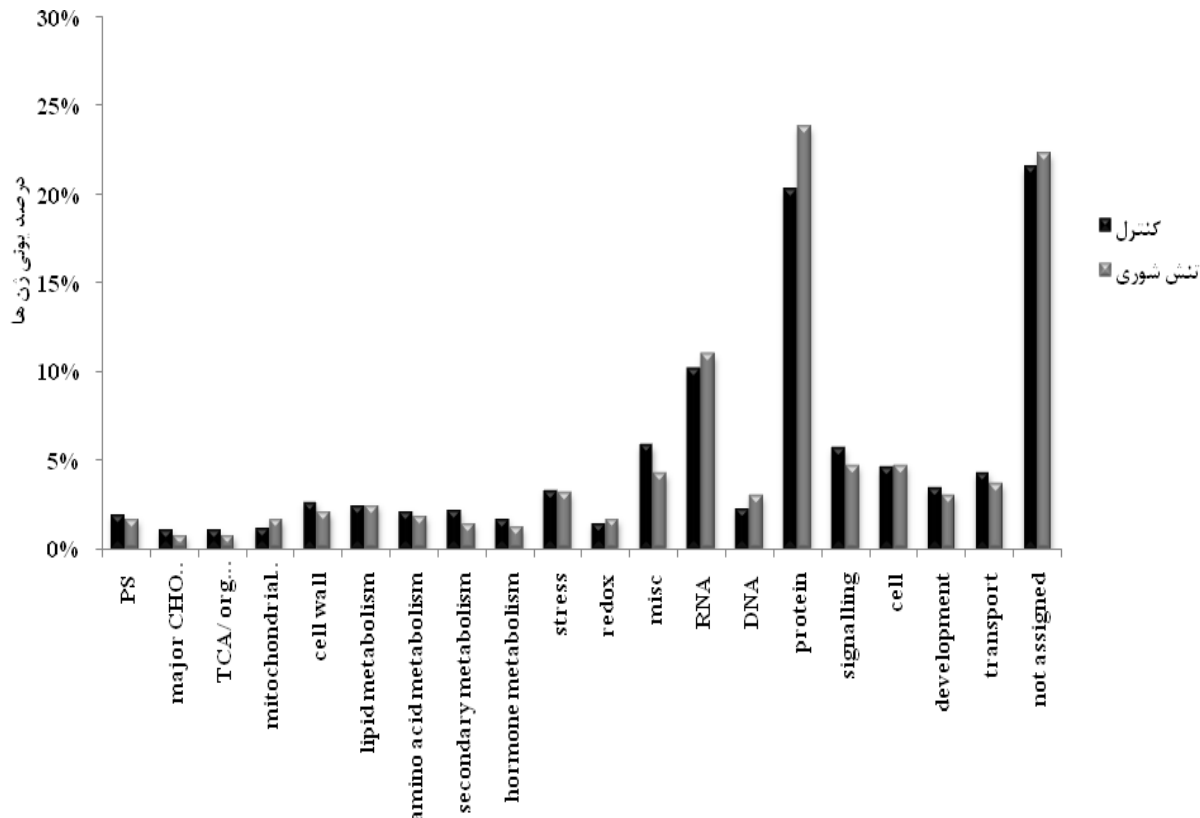
میکرو RNAها نقش‌های مهمی در پاسخ به محرومیت مواد غذایی، تنش‌های زیستی و غیر زیستی دارند (Jones-Rhoades & Bartel, 2004; Sunkar & Zhu, 2004; Fujii et al., 2005; Chiou et al., 2006; Navarro et al., 2006; Sunkar et al., 2006; Sunkar et al.,

^۱ Post-transcriptional level^۲ Secondary metabolism^۳ Miscellaneous enzyme families^۴ Major CHO metabolism^۵ TCA and organic transformation^۶ Mitochondrial electron transport /ATP synthesis^۷ Lipid metabolism^۸ Redox^۹ Micro RNA, natural antisense^{۱۰} Gluconeogenesis/ glyoxylate cycle^{۱۱} S-assimilation

chlorophyll a-(XP_003562323.1), protein b binding protein, chloroplastic-like ferredoxin-NADP(H) (CAD30025.1) Oxygen- (Q00434.1) oxidoreductase evolving enhancer protein 2, chloroplastic ribulose-1,5-bisphosphate (BAB19814.1) carboxylase/oxygenase small subunit اشاره کرد. بنابراین، کاهش فعالیت گروه کارکرده فتوستتر ممکن است ناشی از کاهش بیان این ژن‌ها باشد. نقش برخی از این ژن‌ها در تنش سوری و سایر تنش‌های محیطی به خوبی شناخته شده است. برای مثال بر اساس نتایج پژوهشی با استفاده از روش پروتئومیکس انجام شد، تحت تنش سوری بیان پروتئین enhancer protein 2 oxygen-evolving (Gao *et al.*, 2011). همچنین evolving enhancer protein 1, chloroplast Oxygen-evolving enhancer (OEE1) و آزادسازی اکسیژن در فتوسیستم II نقش ایفا می‌کند و باعث تجزیه آب و آزادسازی اکسیژن می‌شوند (de Vitry *et al.*, 1989).

کاهش یافته است. به عبارتی می‌توان گفت تحت تنش سوری فعالیت ژنوم به سمت افزایش سنتز ATP/ انتقال الکترون میتوکندریایی، متابولیسم لپید، اکسایش - احیا، پروتئین، RNA و DNA گرایش پیدا می‌کند که می‌تواند بیانگر نقش مهم این گروه‌های کارکرده در فرایند تحمل به سوری باشد. به علاوه، شناسایی ژن‌های پاسخ دهنده برای درک اساس مولکولی تحمل به سوری ضروری است. در این راستا، به منظور یافتن ژن‌های دارای بیان افتراقی، EST‌های دو کتابخانه به طور مجزا توسط EGassembler بر اساس میزان شباهت دسته بندی شدند. طبق نتایج آزمون آماری Audic and Claverie ۲۷۱ کانتیگ بین شرایط کنترل و تنش سوری دارای بیان افتراقی معنی‌دار در سطح ۰.۵٪ بودند. نتایج نشان داد که ۹۲ کانتیگ تنها در تنش سوری بیان شدند، ۱۰۱ کانتیگ در تنش سوری افزایش بیان کاهش دادند، ۲۲ کانتیگ در تنش سوری کاهش بیان داشتند و ۵۶ کانتیگ تنها در شرایط کنترل بیان شدند.

بر اساس نتایج این پژوهش، فعالیت گروه کارکرده فتوستتر تحت تنش سوری کاهش یافت. از طرف دیگر بررسی ژن‌های دارای بیان افتراقی نشان داد که ژن‌هایی که در این گروه کارکرده قرار می‌گیرند اغلب کاهش بیان داشتند. از جمله این ژن‌ها می‌توان به ژن‌های رمز کننده chloroplast oxygen-(ABQ52657.1) evolving enhancer protein 1 chlorophyll a-b binding (ACO06087.1)



شکل ۱- مقایسه گروههای کارکردی در شرایط کنترل و تنش شوری.

Figure 1- Comparison of functional categories between control and salt stress conditions

PS: فتوستز، CHO metabolism major: متابولیسم کربوهیدرات های بزرگ، TCA/ org. Transformation: متابولیسم چربی، mitochondrial electron transport / ATP synthesis: انتقال الکترون در میتوکندری / سنتز ATP، amino acid metabolism: متابولیسم اسید آمینه، secondary metabolism: متابولیسم ثانویه، wall: دیواره سلولی، lipid metabolism: متابولیسم چربی، stress: استرس، redox: اکسایش-احیا، misc: خانواده های آنژیمی متفاوت، RNA: پردازش، رونویسی و تنظیم رونویسی، DNA: سنتز، ساختار کروماتین و ترمیم DNA، protein: سنتز پروتئین، hormone metabolism: متابولیسم هورمونی، signaling: تغییرات پروتئین و تجزیه پروتئین، cell: علامتدهی سلولی، تقسیم و چرخه سلولی و انتقال پروتئین های ناشناخته و فرضی، development: نمو، transport: انتقال، not assigned: پروتئین های ناشناخته و فرضی.

های اکسیژن آزاد کمتری تولید و در نتیجه تخریب کمتری به فتوسیستم II وارد گردد (Maleki *et al.*, 2012). همچنین در گندم دوروم OEE2 تحت تنش شوری، کاهش بیان پروتئین گزارش شده است (Caruso *et al.*, 2008).

در پژوهشی نیز کاهش بیان پروتئین OEE2 را در گیاهچه تحت تنش شوری گندم نان مشاهده کردند. آنها گزارش کردند که کاهش بیان پروتئین OEE2 احتمالاً می‌تواند باعث کاهش سطح آزاد سازی اکسیژن شود تا رادیکال-

اختلاف معنی‌داری بین کتابخانه‌های کترل و تنش نشان نداده بودند. این یافته می‌تواند بیانگر این مطلب باشد که تنها مطالعه و بررسی گروه‌های کارکردی به منظور چنین مقایساتی نمی‌تواند اطلاعات کاملی پیرامون تغییرات کارکردی ژنوم به دست دهد و در کنار آن لازم است که به صورت جداگانه بیان ژن‌ها و اختلافات احتمالی Shamloo-^(dashtpagerdi, 2009) بین کتابخانه‌ها نیز بررسی شود (شکل ۲). گروه کارکردی نیز متفاوت بود (شکل ۲). گروه کارکردی پروتئین با ۶۵ ژن دارای بیان افتراقی، بیشترین تعداد ژن‌ها را به خود اختصاص داد و چهار گروه کارکردی تجزیه زنوبیوتیک‌ها، متابولیسم نوکلئوتید، متابولیسم کربوهیدرات اصلی و متابولیسم هورمون^۰ هم دارای یک ژن با بیان متفاوت بین دو کتابخانه کترل و تنش شوری بودند.

نتیجه قابل توجهی دیگری که از داده‌کاوی به دست آمد، شناسایی ژن‌های جدید مرتبط با پاسخ به تنش شوری می‌باشد. در این پژوهش برای نخستین بار، چندین ژن جدید مانند MIKC-type MADS-box transcription factor WM20 (AM502886) *Triticum aestivum* alternative splicing regulator (SRp30a) (DQ019639)، ژن رمزکننده پروتئین متصل شونده به RNA whGRP-1^۱ (U32310)، در پاسخ به شوری در گندم گزارش شدند. این ژن‌ها می‌توانند دارای اثرات بالقوه برای القای

بر اساس نتایج مشخص گردید از مجموع ۲۷۱ کانتیگ ذکر شده ۱۷ کانتیگ هیچ شباهتی با توالی‌های موجود در پایگاه داده‌ها نداشتند و به عبارتی فاقد hit بودند. چندین احتمال برای توالی‌های بدون hit وجود دارد. ممکن است خطاهای توالی‌یابی یا همگذاری EST‌ها منجر به ایجاد چنین توالی‌هایی شده باشد. همچنین توالی‌های بدون hit ممکن است مختص گونه باشد بنابراین بلاست آن‌ها در گونه‌های دیگر نتیجه‌ای در بر نخواهد داشت. یک احتمال دیگر این است که توالی‌های بدون hit ممکن است ژن‌های واقعی باشند که هنوز شناسایی نشده‌اند و یا در پایگاه‌های داده‌ها قرار نگرفته‌اند و در نتیجه تعیین کارکرد و نقش آن‌ها در تنش شوری باید مورد بررسی بیشتر قرار گیرد. بررسی آنتولوژی و تجزیه و تحلیل الگوی بیان این ژن‌ها به شناسایی کارکرد آن‌ها کمک می‌کنند.

همچنین دسته‌بندی ژن‌های با بیان افتراقی بر اساس گروه کارکردی که به آن تعلق دارند انجام شد. در مجموع ژن‌های با بیان افتراقی در ۲۳ گروه کارکردی مختلف قرار گرفتند که ۱۹ گروه از این ۲۳ گروه با ۲۰ گروه کارکردی که بین دو کتابخانه کترل و تنش اختلاف معنی‌دار داشتند، مشترک بوده و ۴ گروه باقیمانده که شامل گروه‌های کارکردی گلیکولیز^۲، تخمیر^۳، تجزیه زنوبیوتیک‌ها^۴ و متابولیسم نوکلئوتیدها^۵ بودند،

^۱ Glycolysis

^۲ Fermentation

^۳ Biodegradation of Xenobiotics

^۴ Nucleotide metabolism

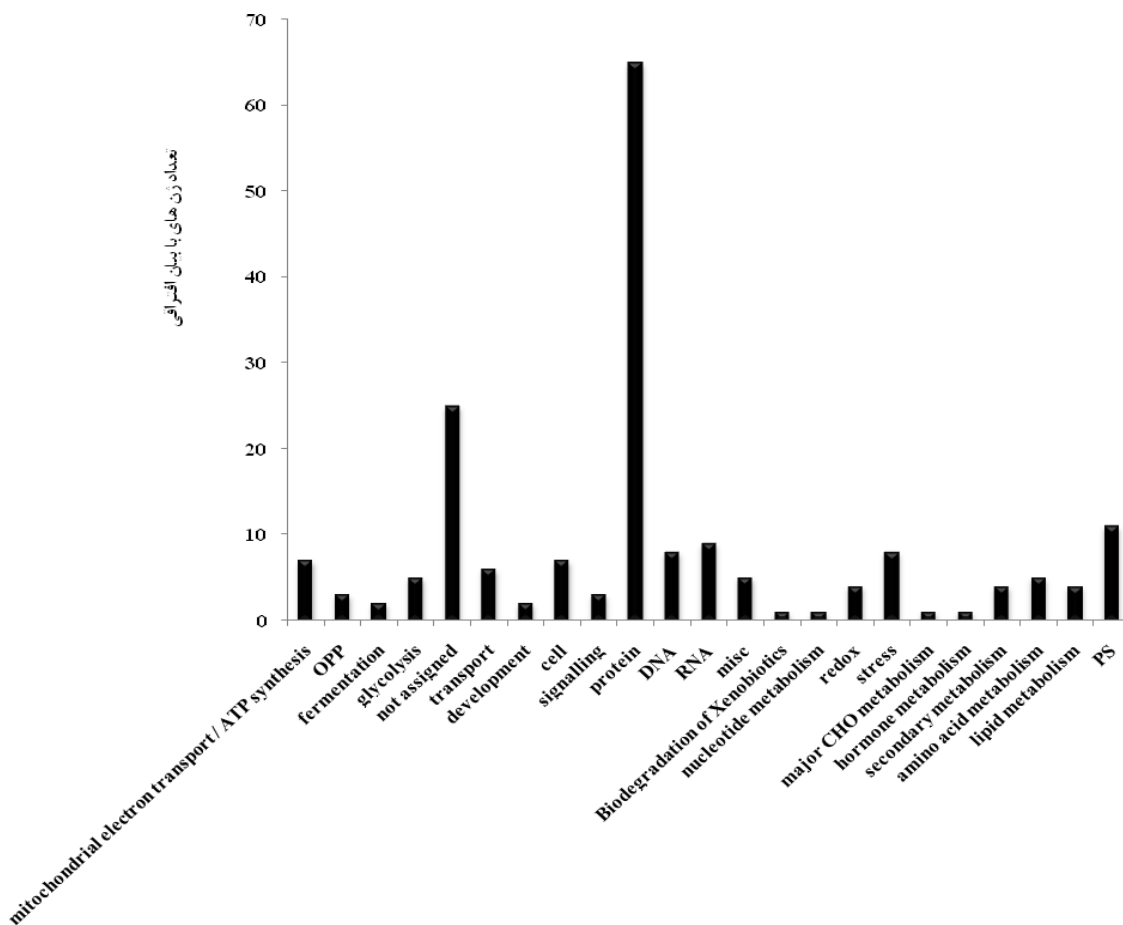
^۵ Hormone metabolism

^۶ Glycine-rich RNA-binding protein

AY846819.1, AJ001161.1, AY846832.1, X62725.1, AY290723.1, EU960877.1, فاکتورهای شروع ترجمه^۱ (DQ167203.2) و ادامه ترجمه^۲ (M90077.1), فاکتورهای رونویسی^۳ (AY781352.1, AY955493.2), AJ890015.1, EU096087, AB272226.1, (AM502886.1), پروتئینهای متصل شونده به RNA^۴ (U32310.1) و تنظیم کننده اسپلایسینگ جایگزین^۵ (DQ019639.1) را در پاسخ به شوری نشان داد و بیانگر آن است که به جز رونوشت‌های مربوط به اسمولیت‌ها و ترانسپورترهای یونی، رونوشت‌های رمز کننده پروتئین‌های تنظیمی مرتبط با ماشین رونویسی و ترجمه نیز نقش مهمی در پاسخ به تنش شوری دارند. این نتایج با یافته‌های Sahi *et al.* (2006) تطابق دارد. آنها نشان دادند که پروتئین‌های مرتبط با ماشین رونویسی و ترجمه به ویژه فاکتورهای رونویسی، پروتئین‌های متصل شونده به RNA، ژن‌های ریبوزومی و فاکتورهای شروع و ادامه ترجمه در طول تنش شوری اهمیت دارند. بنابراین نیاز جدی برای بررسی کارکرد سلولی این ژن‌ها که احتمالاً در تحمل به شوری نقش دارند، وجود دارد (Sahi *et al.*, 2006).

تحمل به شوری و منابع با ارزشی برای سیستم‌های جدید تحمل به شوری باشند. اهمیت فاکتورهای رونویسی MADS box در شبکه ژنی پاسخ به شوری در برنج نشان داده شده است (Cooper *et al.*, 2003) شده است که SR-rich splicing factors در Forment *et al.*, 2002 تحمل به تنش شوری مؤثر هستند (Higgins, 1991; WhGRP-1, Dreyfuss *et al.*, 1993) پروتئین‌های متصل شونده به RNA در سطوح پردازش، انتقال، پلی‌آدنیلاسیون و پایداری Higgins, 1991; بیان ژن را کنترل می‌کنند (Agarwal and Grover, 2005) می‌یابد (Guiltinan & Niu, 1996). گزارش شده است که تعدادی از اعضای خانواده پروتئینی غنی از گلایسین متصل شونده به RNA توسط تنش سرمایی القا می‌شوند (Bergeron *et al.*, 1993; Heintzen *et al.*, 1994; Carpenter *et al.*, 1994) افزون بر این، بررسی پروفایل رونوشت‌ها، افزایش و کاهش بیان ژن‌های ریبوزومی^۶ (AY846823.1, AY846832.1, BK001234.1), EU957356.1, AY846831.1, AY846822.1

^۱ Translation initiation factor^۲ Translation elongation factor^۳ Transcription factor^۴ Single-stranded nucleic acid binding protein^۵ Alternative splicing regulator^۶ Ribosomal protein



شکل ۲- توزیع ژن‌های با بیان افتراقی در گروه‌های کارکردی.

Figure 2- Functional categorization of differentially expressed genes.

mitochondrial electron transport / ATP synthesis: انتقال الکترون در میتوکندری / ATP ساز: چرخه اکسیداکسی پنتوز فسفات. OPP: تخمیر. glycolysis: گلیکولیز. fermentation: پروتئین‌های ناشناخته و فرضی. transport: انتقال. not assigned: پروتئین‌های سازماندهی سلولی، تقسیم و چرخه سلولی و انتقال وزیکول. development: علامت‌دهی. protein: سازماندهی سلولی، تقسیم و چرخه سلولی و انتقال وزیکول. cell: ساختار کروماتین و ترمیم DNA: سازماندهی سلولی، تقسیم و چرخه پروتئین. RNA: پردازش، رونویسی و تنظیم فعال‌سازی اسید آمینه، تغییرات پروتئین و تجزیه پروتئین. Biodegradation of Xenobiotics: تجزیه زنوبیوتیک، روکاریزی، متابولیسم خانواده‌های آنزیمی متفاوت. misc: خانواده‌های آنزیمی متفاوت. nucleotide metabolism: متابولیسم کربوهیدرات‌های بزرگ، نوکلئوتید، اکسایش-کاهش، stress: تنش، redox: متابولیسم متیل‌لیپید، major CHO metabolism: متابولیسم هورمونی، hormone metabolism: متابولیسم ثانویه، secondary metabolism: متابولیسم چربی، amino acid metabolism: متابولیسم اسید آمینه، lipid metabolism: متابولیسم فتوسترن.

شوری ایجاد کند. روش آنالیز EST، راهی سریع و منطقی برای یافتن گروه‌های کارکردی فعال ژنوم طی شرایط تنش و شناسایی ژن‌های نامزد جدید برای تحمل به تنش‌ها می‌باشد. از آن جا

به طور کلی مطالعات بیوانفورماتیک می‌تواند منجر به شناسایی مسیرهای مرتبط با تنش شوری و فهم مکانیسم‌های کنترل کننده تحمل به تنش شود و دید جامع‌تری در ایجاد تحمل به

تحمل به شوری باشند. cDNAهای کامل ژن‌های نامزد قابل جداسازی هستند و می‌توان با استفاده از تراریزیش گیاهان مدل، کارکرد خاص این ژن‌ها را در تحمل به شوری بررسی کرد و در نهایت از آن‌ها به عنوان ژن‌های هدف در مهندسی ژنتیک گیاهان زراعی با هدف بهبود تحمل به تنش نمود.

استفاده	شوری	تحمل به شوری باشند.
---------	------	---------------------

که تا کنون گزارشی از نقش این ژن‌ها در تحمل به شوری در گندم منتشر نشده است، ژن‌های شناسایی شده در این پژوهش از قبیل MIKC-type MADS-, whGRP-1 (U32310) box transcription factor WM20 *Triticum aestivum* (AM502886) alternative splicing regulator (SRp30a) می‌توانند نامزدهای ارزشمندی (DQ019639) جهت بررسی بیشتر برای سیستم‌های جدید

منابع

- Agarwal S, Grover A (2005). Isolation and transcription profiling of low-O₂ stress-associated cDNA clones from the flooding-stress-tolerant FR13A rice genotype. *Annals of Botany* 96: 831-844.
- Ali Q, Ahsan M, Tahir M, Elahi M, farooq J, Waseem M (2011). Gene expression and functional genomics approach for abiotic stress tolerance in different crop species. *International Journal for Agro Veterinary and Medical Sciences* 5: 221-248.
- Apse MP, Aharon GS, Snedden WA, Blumwald E (1999). Salt tolerance conferred by overexpression of a vacuolar Na⁺/H⁺ antiport in *Arabidopsis*. *Science* 285: 1256-1258.
- Bergeron D, Beauseigle D, Bellemare G (1993). Sequence and expression of a gene encoding a protein with RNA-binding and glycine-rich domains in *Brassica napus*. *Biochimica et Biophysica Acta* 19: 123-125.
- Carpenter CD, Kreps JA, Simon AE (1994). Genes encoding glycine-rich *Arabidopsis thaliana* proteins with RNA-binding motifs are influenced by cold treatment and an endogenous circadian rhythm. *Plant Physiology* 104: 1015-1025.
- Caruso G, Cavaliere C, Guarino C, Gubbiotti R, Foglia P, Lagana A (2008). Identification of changes in *Triticum durum* L. leaf proteome in response to salt stress by two-dimensional electrophoresis and MALDI-TOF mass spectrometry. *Analytical and Bioanalytical Chemistry* 391: 381-390.
- Chiou TJ, Aung K, Lin SI, Wu CC, Chiang SF, Su CL (2006). Regulation of phosphate homeostasis by MicroRNA in *Arabidopsis*. *Plant Cell* 18: 412-421.
- Cooper B, Clarke JD, Budworth P, Kreps J, Hutchison D, Park S, Guimil S, Dunn M, Luginbuhl P, Ellero C, Goff SA, Glazebrook J (2003). A network of rice genes associated with stress response and seed development. *Proceedings of the National Academy of Sciences U S A* 100: 945-4950.
- Dat J, Vandenabeele S, Vranova E, Van Montagu M, Inze D, Van Breusegem F (2000). Dual action of the active oxygen species during plant stress responses. *Cellular and Molecular life Sciences* 57: 779-795.
- de Vitry C, Olive J, Drapier D, Recouvreur M, Wollman FA (1989). Posttranslational events leading to the assembly of photosystem II protein complex: a study using photosynthesis mutants from *Chlamydomonas reinhardtii*. *The Journal of Cell Biology* 109: 991-1006.

- Dong Q, Kroiss L, Oakley FD, Wang B, Brendel V (2005). Comparative EST analysis in plant systems. *Methods in Enzymology* 395:400-416.
- Dreyfuss G, Matunis MJ, Pinol-Roma S, Burd CG (1993). hnRNP proteins and the biogenesis of mRNA. *Annual Review of Biochemistry* 62: 289-321.
- Fleury D, Jefferies S, Kuchel H, Langridge P (2010). Genetic and genomic tools to improve drought tolerance in wheat. *Journal of Experimental Botany* 61:3211-3222.
- Forment J, Naranjo MA, Roldan M, Serrano R, Vicente O (2002). Expression of *Arabidopsis* SR-like splicing proteins confers salt tolerance to yeast and transgenic plants. *The Plant Journal* 30: 511-519.
- Fujii H, Chiou TJ, Lin SI, Aung K, Zhu JK (2005). A miRNA involved in phosphate-starvation response in *Arabidopsis*. *Current Biology* 15: 2038-2043.
- Gao L, Yan X, Li X, Guo G, Hu Y, Ma W, Yan Y (2011). Proteome analysis of wheat leaf under salt stress by two-dimensional difference gel electrophoresis (2D-DIGE). *Phytochemistry* 72: 1180-1191.
- Gruber M, Wu L, Links M, Gietvai B, Durkin J, Lewis C, Sharpe A, Lydiate D, Hegedus D (2012). Analysis of expressed sequence tags in *Brassica napus* cotyledons damaged by crucifer flea beetle feeding. *Genome* 55:118–133
- Gueguen Y, Cadoret JP, Flament D, Barreau-Roumiguiere C, Girardot AL, Garnier J, Hoareau A, Bachere E, Escoubas JM (2003). Immune gene discovery by expressed sequence tags generated from hemocytes of the bacteria-challenged oyster, *Crassostrea gigas*. *Gene* 303: 139-145.
- Guiltinan MJ, Niu X (1996). cDNA encoding a wheat (*Triticum aestivum* cv. Chinese spring) glycine-rich RNA-binding protein. *Plant Molecular Biology* 30: 1301-1306.
- Heintzen C, Melzer S, Fischer R, Kappeler S, Apel K, Staiger D (1994). A light- and temperature-entrained circadian clock controls expression of transcripts encoding nuclear proteins with homology to RNA-binding proteins in meristematic tissue. *The Plant Journal* 5: 799-813.
- Higgins CF (1991). Stability and degradation of mRNA. *Current Opinion in Cell Biology* 3: 1013-1018.
- Houde M, Belcaid M, Ouellet F, Danyluk J, Monroy AF, Dryanova A, Gulick P, Bergeron A, Laroche A, Links MG, MacCarthy L, Crosby WL, Sarhan F (2006). Wheat EST resources for functional genomics of abiotic stress. *BMC Genomics* 7: 149-155.
- Jones-Rhoades, MW, Bartel DP (2004). Computational identification of plant microRNAs and their targets, including a stress-induced miRNA. *Molecular Cell* 14: 787-799.
- Khraiwesh B, Zhu JK, Zhu J (2012). Role of miRNAs and siRNAs in biotic and abiotic stress responses of plants. *Biochimica Biophysica Acta (BBA) Gene Regulatory Mechanisms* 1819:137–148
- Kore-edo S, Cushman MA, Akselrod I, Bufford D, Fredrickson M, Clark E, Cushman JC (2004). Transcript profiling of salinity stress responses by large-scale expressed sequence tag analysis in *Mesembryanthemum crystallinum*. *Gene* 341: 83-92.
- MasoudiNejad A, Tonomura K, Kawashima S, Moriya Y, Suzuki M, Itoh M, Kanehisa M, Endo T, Goto S (2006). EGassembler: online bioinformatics service for large-scale processing, clustering and assembling ESTs and genomic DNA fragments. *Nucleic Acids Research* 34: W459-462.
- Mehta PA, Sivaprakash K, Parani M, Venkataraman G, Parida AK (2005). Generation and analysis of expressed sequence tags from the salt-tolerant mangrove species *Avicennia marina* (Forsk) Vierh. *Theoretical and Applied Genetics* 110: 416-424.

- Navarro L, Dunoyer P, Jay F, Arnold B, Dharmasiri N, Estelle M, Voinnet O, Jones JD (2006). A plant miRNA contributes to antibacterial resistance by repressing auxin signaling. *Science* 312: 436-439.
- Noctor G, Foyer CH (1998). Ascorbate and glutathione: Keeping active oxygen under control. *Annual Review of Plant Physiology and Plant Molecular Biology* 49: 249-279.
- Rhee SY, Dickerson J, Xu D (2006). Bioinformatics and its applications in plant biology. *Annual Review of Plant Biology* 57: 335-360.
- Reymond P, Weber H, Damond M, Farmer EE (2000). Differential gene expression in response to mechanical wounding and insect feeding in *Arabidopsis*. *The Plant Cell* 12: 707-720.
- Richmond T, Somerville S (2000). Chasing the dream: plant EST microarrays. *Current Opinion in Plant Biology* 3: 108-116.
- Romualdi C, Bortoluzzi S, Dalessi F, Danieli GA (2003). IDEG6: a web tool for detection of differentially expressed genes in multiple tag sampling experiments. *Physiological Genomics* 12: 159-162.
- Sahi C, Singh A, Blumwald E, Grover A (2006). Beyond osmolytes and transporters: novel plant salt-stress tolerance-related genes from transcriptional profiling data. *Physiologia Plantarum* 127: 1-9.
- Shamloo-dashptagerdi R (2009). Analysis of EST sequences of *triticum monococcum*, the wild relative of bread wheat, to assign functional categories and analyse genes expression. M.S. thesis. Iran, Shiraz Univ.
- Shikanai T, Takeda T, Yamauchi H, Sano S, Tomizawa KI, Yokota A, Shigeoka S (1998). Inhibition of ascorbate peroxidase under oxidative stress in tobacco having bacterial catalase in chloroplasts. *FEBS Letter* 428: 47-51.
- Smith B, Williams J, Schulze-Kremer S (2003). The ontology of the gene ontology. *AMIA Annual Symposium Proceedings* 13: 606-609.
- Sunkar R, Li YF, Jagadeeswaran G (2012). Functions of microRNAs in plant stress responses. *Trends in Plant Science* 17:196–203.
- Sunkar R, Kapoor A, Zhu JK (2006). Posttranscriptional induction of two Cu/Zn superoxide dismutase genes in *Arabidopsis* is mediated by downregulation of miR398 and important for oxidative stress tolerance. *Plant Cell* 18: 2051-2065 .
- Sunkar R, Zhu JK (2004). Novel and stress-regulated microRNAs and other small RNAs from *Arabidopsis*. *Plant Cell* 16: 2001-2019.
- Urano K, Kurihara Y, Seki M, Shinozaki K (2010). ‘Omics’ analyses of regulatory networks in plant abiotic stress responses. *Current Opinion in Plant Biology* 13: 132-138.
- Usadel B, Nagel A, Steinhauser D, Gibon Y, Bläsing OE, Redestig H, Sreenivasulu N, Krall L, Hannah MA, Poree F, Fernie AR, Stitt M (2006). PageMan: An interactive ontology tool to generate, display, and annotate overview graphs for profiling experiments. *BMC Bioinformatics* 7: 535.
- Van Camp W, Capiau K, Van Montagu M, Inze D, Slooten L (1996). Enhancement of oxidative stress tolerance in transgenic tobacco plants overproducing Fe-superoxide dismutase in chloroplasts. *Plant Physiology* 112: 1703-1714.
- Wang Zl, Li Ph, Fredricksen M, Gong Zz, Kim CS, Zhang C, Bohnert HJ, Zhu JK, Bressan RA, Hasegawa PM, Zhao Yx, Zhang H (2004). Expressed sequence tags from *Thellungiella halophila*, a new model to study plant salt-tolerance. *Plant Science* 166: 609-616.
- Winter J, Diederichs S (2011). MicroRNA biogenesis and cancer. *Methods in Molecular Biology* 676: 3-22.

- Zhang L, Ma XL, Zhang Q, Ma CL, Wang PP, Sun YF, Zhao YX, Zhang H (2001). Expressed sequence tags from a NaCl-treated *Suaeda salsa* cDNA library. *Gene* 267: 193–200.
- Zhuang J, Zhu B (2014). Analysis of *Brassica napus* ESTs: gene discovery and expression patterns of AP2/ERF-family transcription factors. *Molecular Biology Reports* 41: 45–56.
- Zhu JK (2000). Genetic analysis of plant salt tolerance using *Arabidopsis*. *Plant Physiology* 124: 941–948.
- Zouari N, Ben Saad R, Legavre T, Azaza J, Sabau X, Jaoua M, Masmoudi K, Hassairi A. 2007. Identification and sequencing of ESTs from the halophyte grass *Aeluropus littoralis*. *Gene* 404: 61–69.

Bioinformatics analyses of expressed sequence tags in Chinese spring wheat spikes under salt stress

Zinati Z.¹, Alemzadeh A.^{*2}, Ebrahimie E.³

¹ Assistant Professor of plant breeding, Agroecology Department, College of Agriculture and Natural Resources of Darab, Iran.

² Assistant Professor of biotechnology, Department of Crop Production and Plant Breeding, College of Agriculture, Shiraz University, Shiraz, Iran.

³ Assistant Professor of biotechnology, Institute of Biotechnology, College of Agriculture, Shiraz University, Shiraz, Iran.

Abstract

Functional genomics helps to understand the key mechanisms involved in salt stress tolerance and allows the possibility of targeted genetic manipulation to improve crop tolerance to salinity. The goal of this study was to identify new genes related to salt stress and functional analysis based on expressed sequence tags (EST). Therefore, two EST libraries under control and salt stressed conditions were downloaded from Harvard and Graingenes databanks. EGassembler, NCBI BLAST, MaxPlanck and IDEG6 software tools were applied for clustering and assembling EST sequences, determination of proteins related to unigenes (contigs and singletons), functional categories and statistics test, respectively. Results showed that twenty functional categories are significantly different between control and stress conditions. Most of contigs and singletons fell into protein and RNA categories whereas CHO metabolism and TCA and organic transformation had the minimum of numbers of contigs and singletons in both control and salt stressed conditions. Percentage of unigenes in mitochondrial electron transport/ATP synthesis, Lipid metabolism, redox, protein, RNA, DNA, and cell categories were significantly higher in stress condition compared with control condition. Therefore, these functional categories could be involved in the mechanism of response to salt stress. Two hundred and seventy-one genes were differentially expressed that grouped into 23 functional categories. The wheat genes identified in this study can be considered as candidates genes to improve salt tolerance through genetic manipulation.

Key words: Salt stress, Functional genomics, Spike.

* Corresponding Author: Alemzadeh A. Tel: 07132286134 Email: alemzadeh@shirazu.ac.ir

